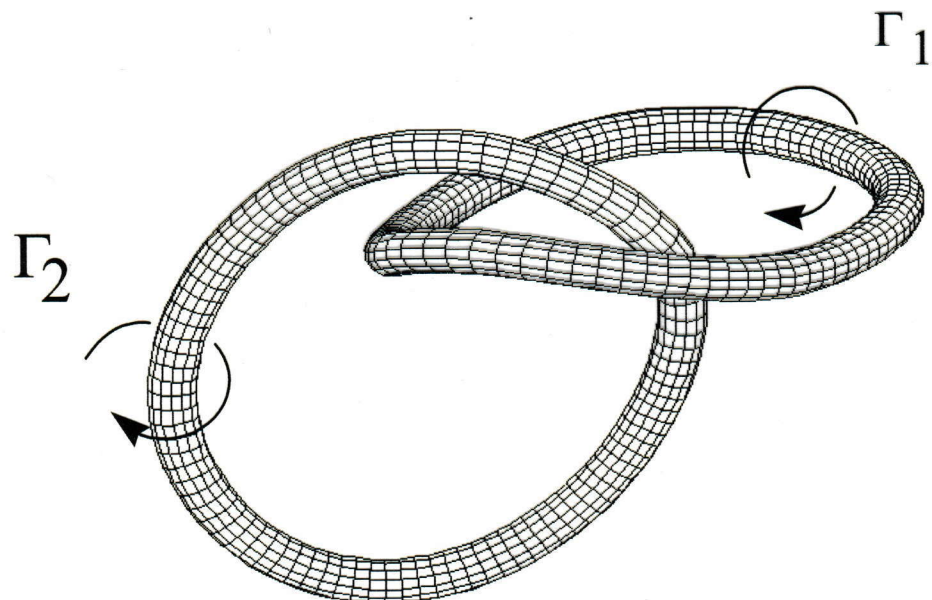


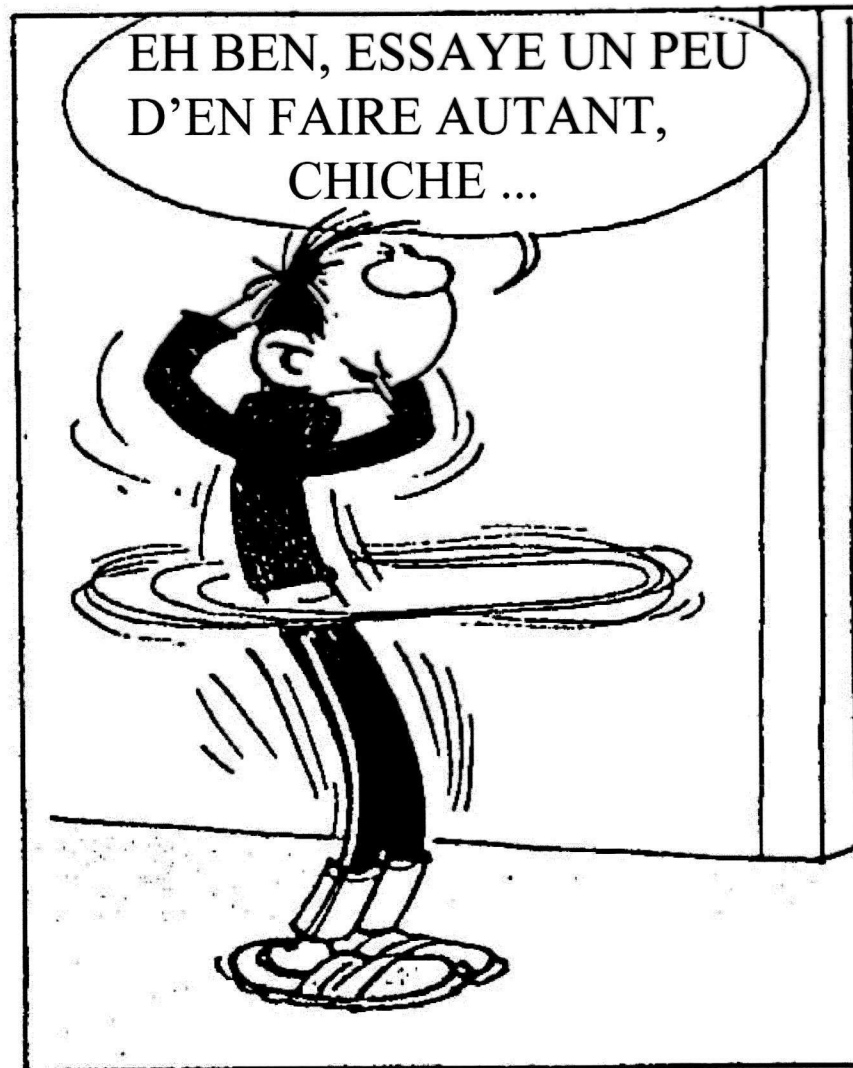
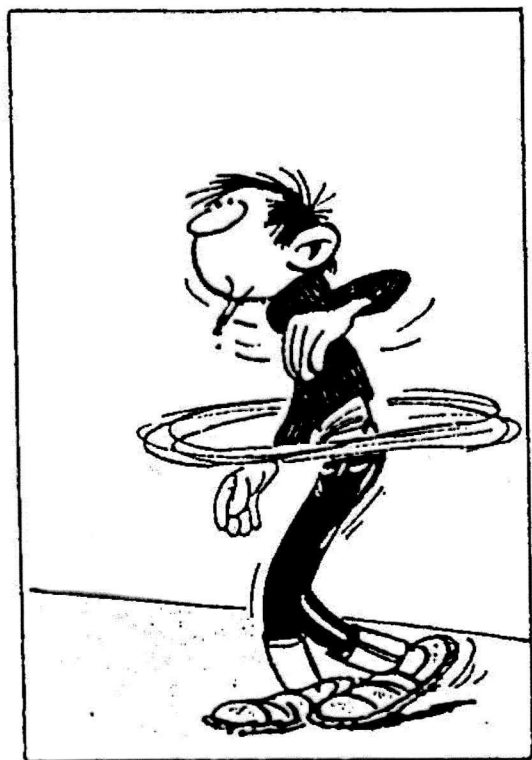
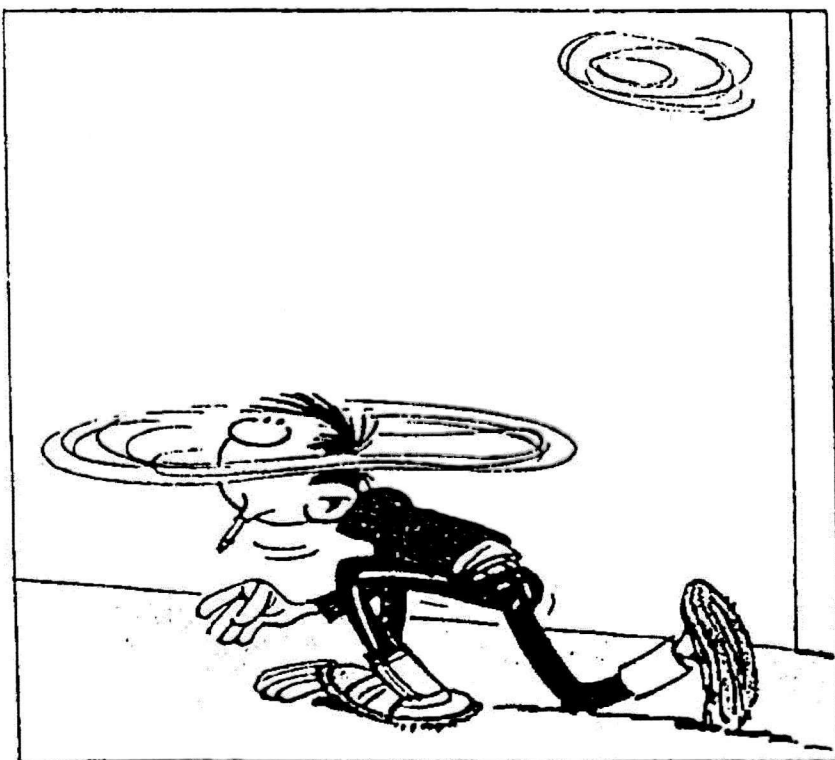
# Mouvement et Dynamique des Filaments et des Anneaux Tourbillons de Faible Epaisseur

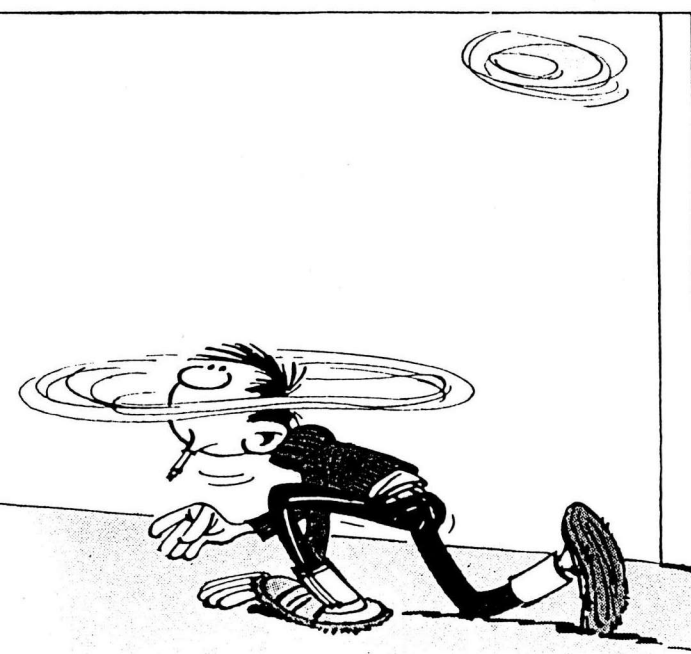
**Daniel Margerit**

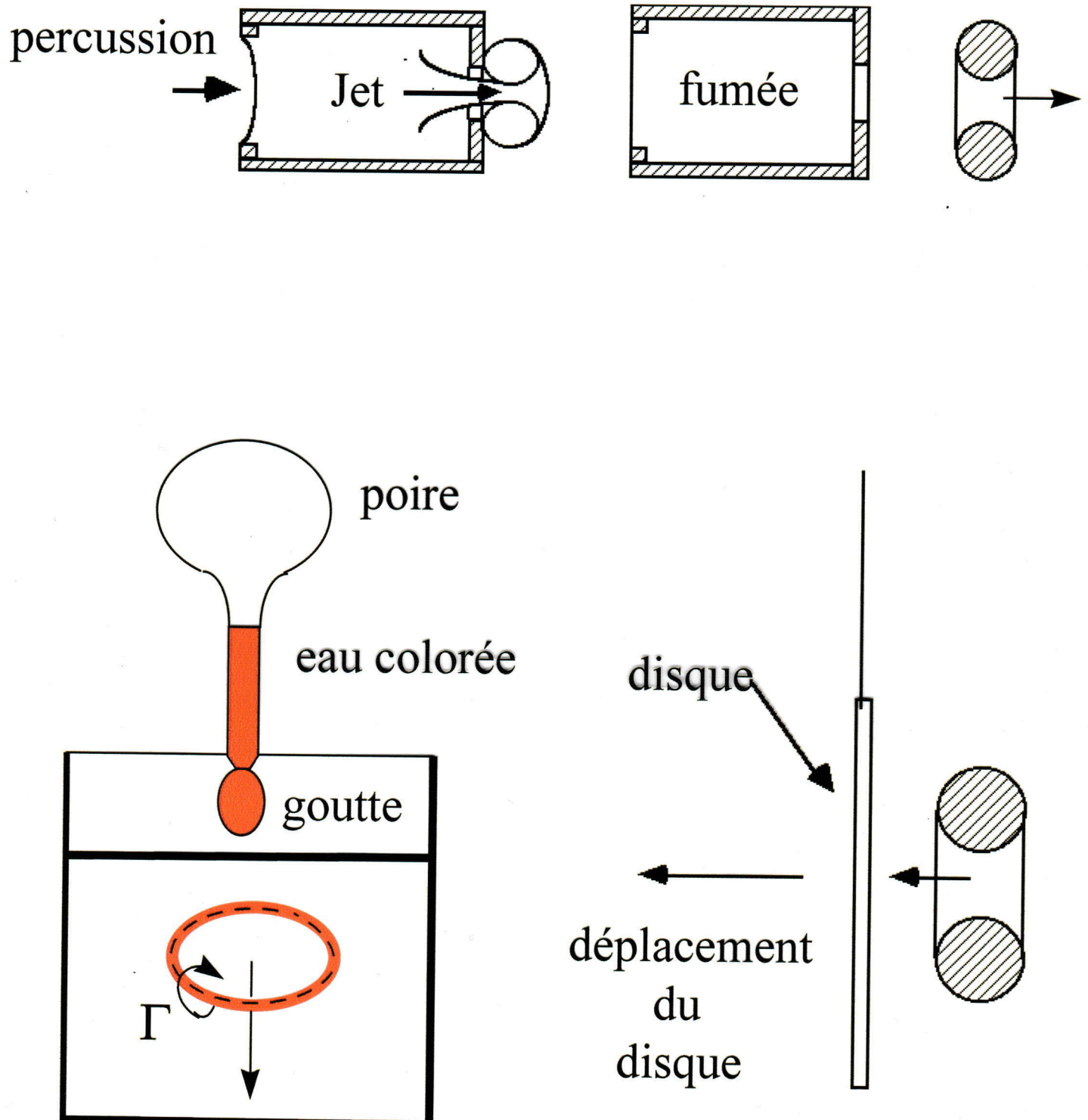
6 novembre 97











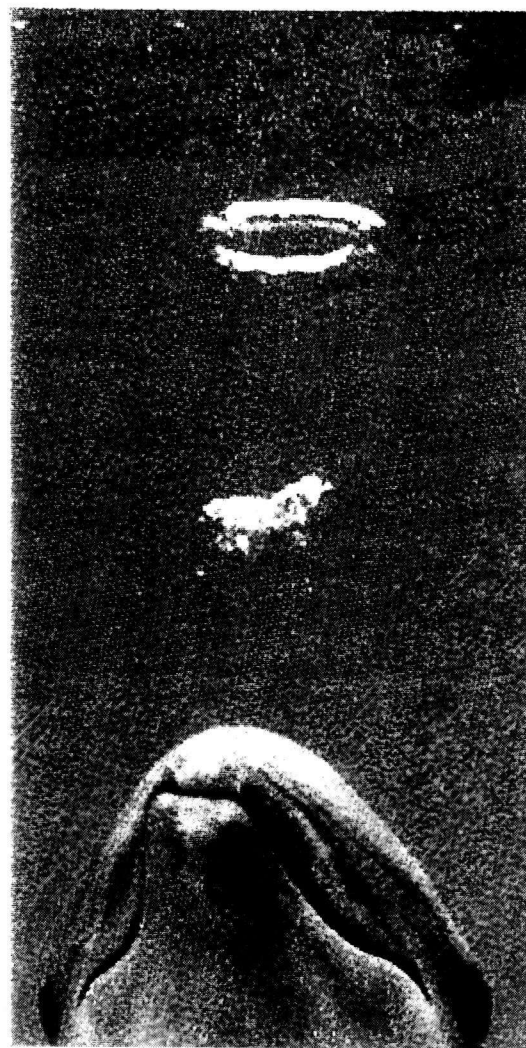


Figure 12 : Bulle torique faite par un dauphin

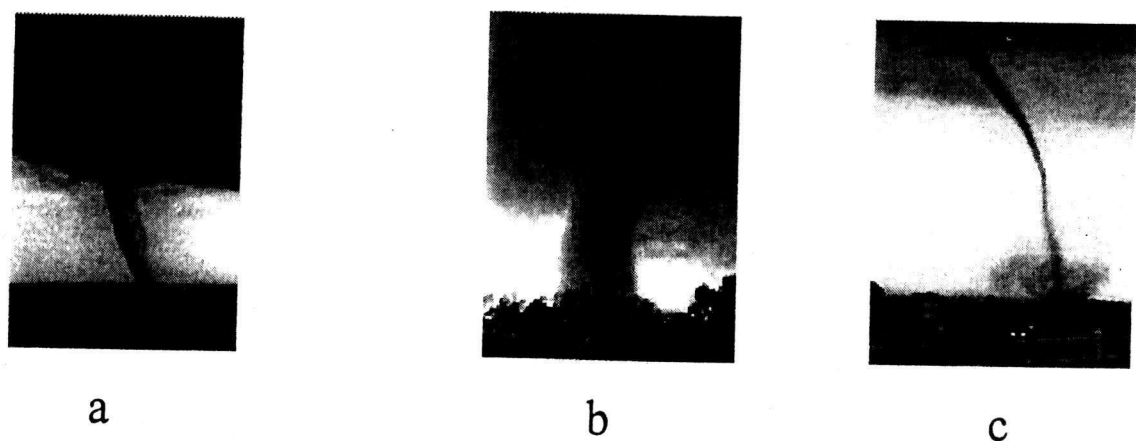


Figure 4 : Photographies de tornades

## • Domaine d'étude :

Ecoulements rotationnels laminaires incompressibles et  $\text{Re} \gg 1$

$$\frac{\partial \vec{v}}{\partial t} + \vec{v} \operatorname{grad} \vec{v} = -\operatorname{grad} \frac{p}{\rho} + \nu \Delta \vec{v}$$

$$\operatorname{div} \vec{v} = 0$$

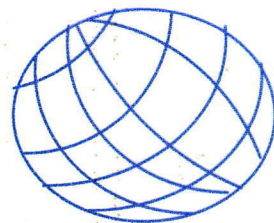
## • Le champ de Vorticité : $\vec{\omega} = \operatorname{rot}(\vec{v})$

$$\frac{\partial \vec{\omega}}{\partial t} + \vec{v} \operatorname{grad} \vec{\omega} = \vec{\omega} \operatorname{grad} \vec{v} + \nu \Delta \vec{\omega}$$

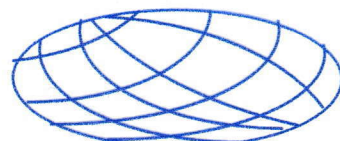
$$\vec{v}(\vec{x}) = \overset{\rightarrow}{\operatorname{grad}}(\varphi(\vec{x})) + \frac{1}{4\pi} \iiint \frac{\vec{\omega}' \wedge (\vec{x} - \vec{x}')}{|\vec{x} - \vec{x}'|^3} dx'$$

vitesse potentielle + vitesse induite

$$\Delta \varphi = 0 \quad \text{CL et CI}$$



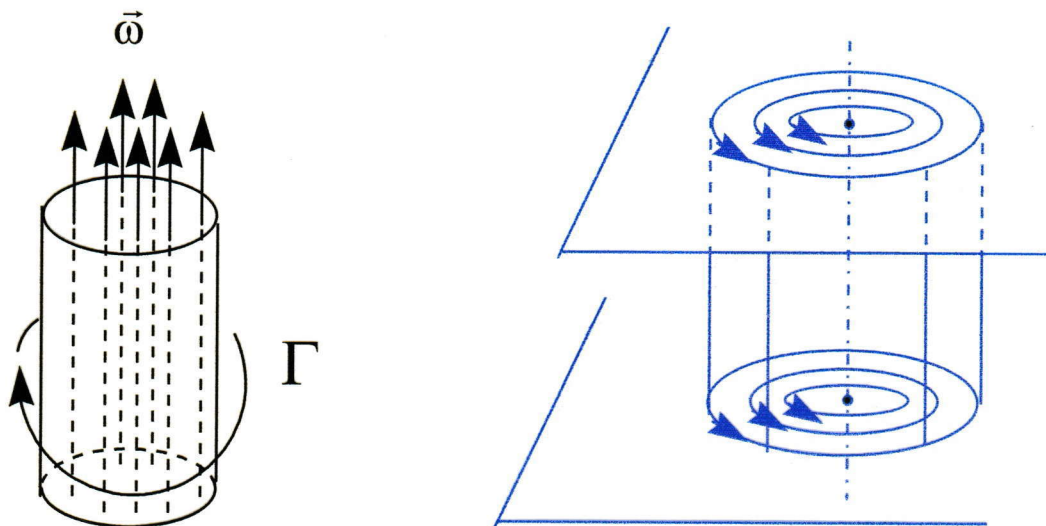
$$\begin{aligned}\Omega(t=0) \\ \vec{\omega}(\vec{x}, t=0) \\ \vec{v}(\vec{x}, t=0)\end{aligned}$$



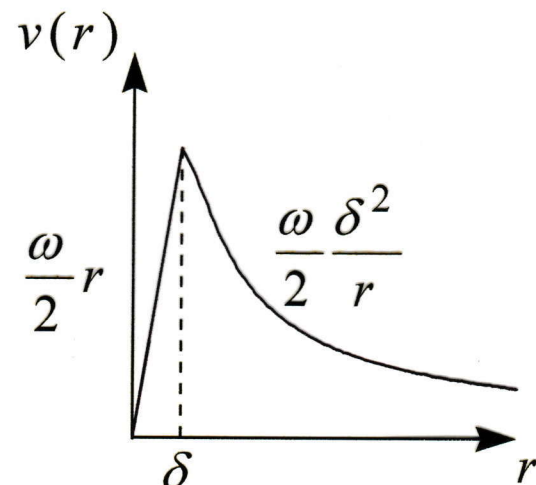
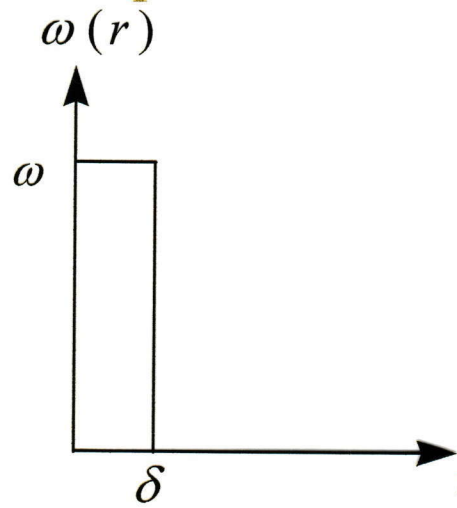
$$\begin{aligned}\Omega(t) ? \\ \vec{\omega}(\vec{x}, t) ? \\ \vec{v}(\vec{x}, t) ?\end{aligned}$$

Vorticité concentrée gelée

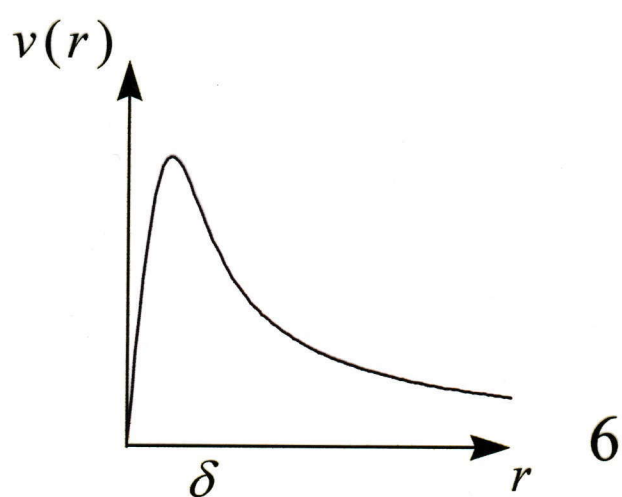
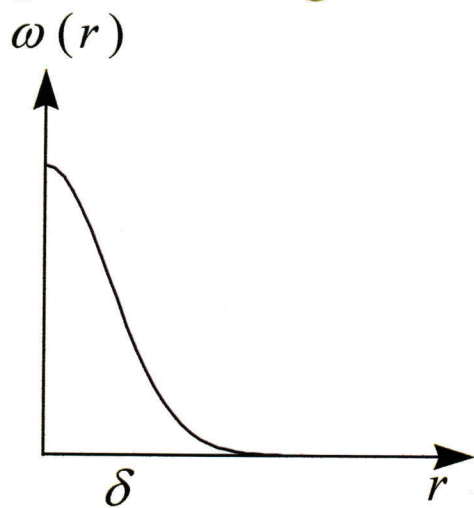
## • Une Tornade :



non visqueux : Rankine

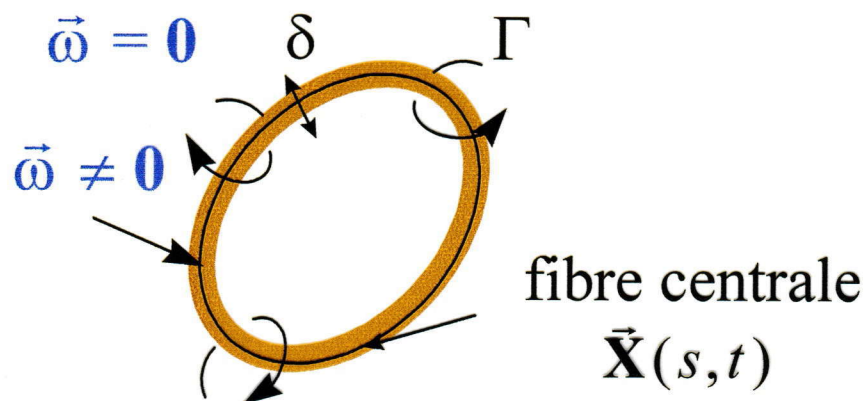


visqueux : Burger

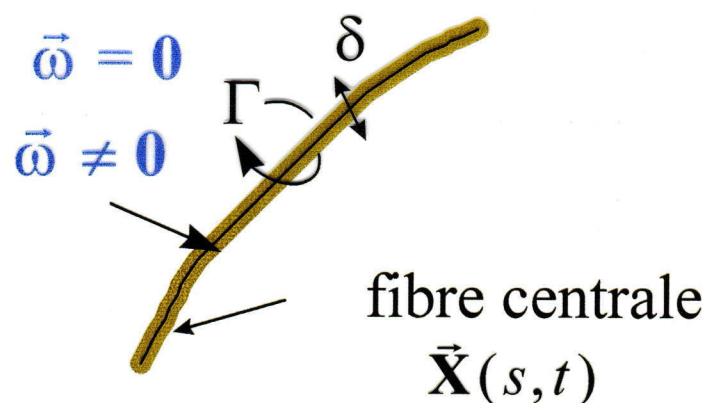


- Anneaux et filaments de faibles épaisseur :

Anneau tourbillon



Filament tourbillon



Faible épaisseur : vorticité concentrée  
approche analytique

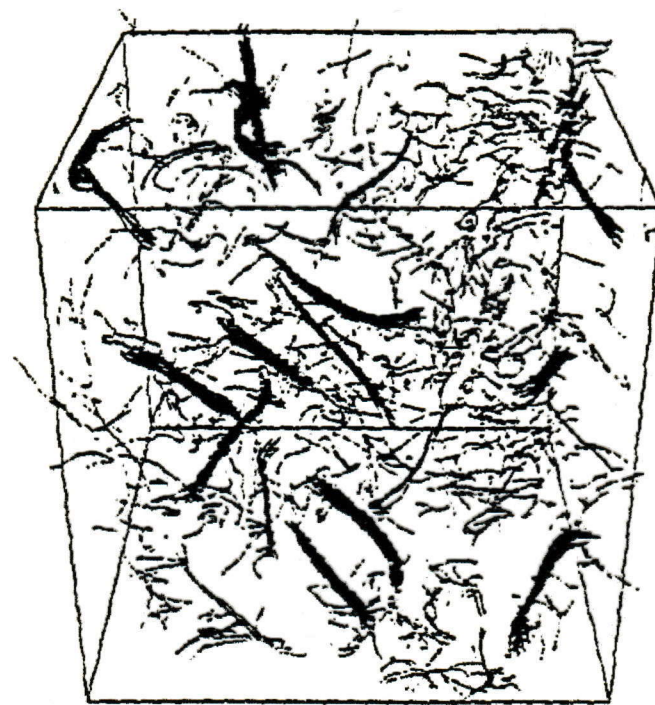
Problème : Evolution ? Interactions?

Stabilité ?

7

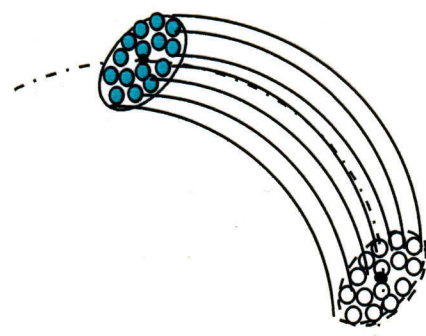
Vorticité gelée

- Utilité de leur étude
- Simulation Numérique Directe d'une turbulence



Champ de vorticité       $\text{Re}_\lambda \approx 77$

- Méthodes numériques :  
épaisseur non fine



pas de particule de vorticité

- Références bibliographiques :  
Evolution de filaments fins
- *Etude d'anneaux circulaires* :  
Kelvin (1867) , Hicks(1884), Dyson(1893),  
Lamb(1906), Saffman (1970), Fraenkel (70)  
Fukumoto (1997)
- *Etude d'anneaux non circulaires* :
  - *Méthodes asymptotiques* :  
Levi-Civita (1932), Widnall (1971),  
Moore (1972), **Ting(1978)**, Fukumoto(1991),  
Klein(1991,1995)
  - *Méthodes de ‘coupure’* : (*cut-off*)  
JJ.Thomson 1883, Hama-Burger 62, Crow 70  
Levy 28, Rosenhead 30, Parks 70, Saffman  
72-92,...

# Reste t'il encore des choses à Etudier ?

1) L'équation d'évolution :

Comprendre le DAR

⇒ Calcul formel

Calcul rigoureux des intégrales singulières

2) Oscillations d'un anneau circulaire

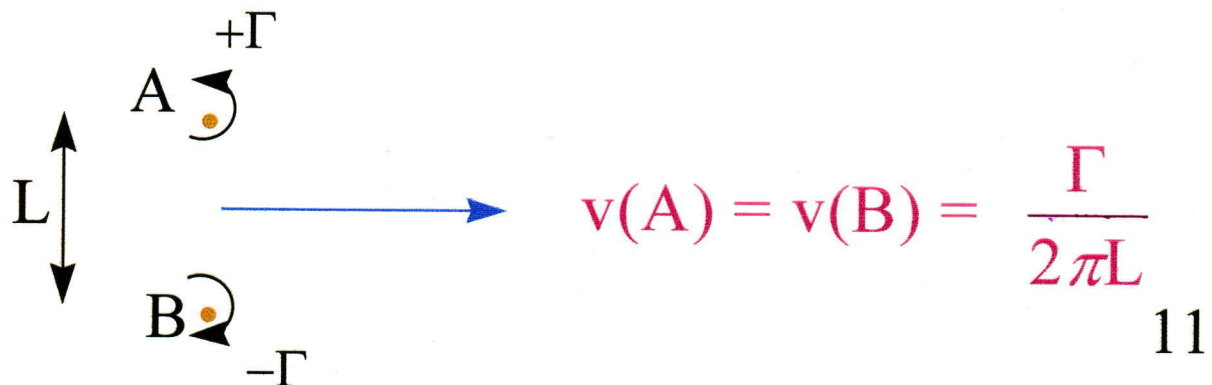
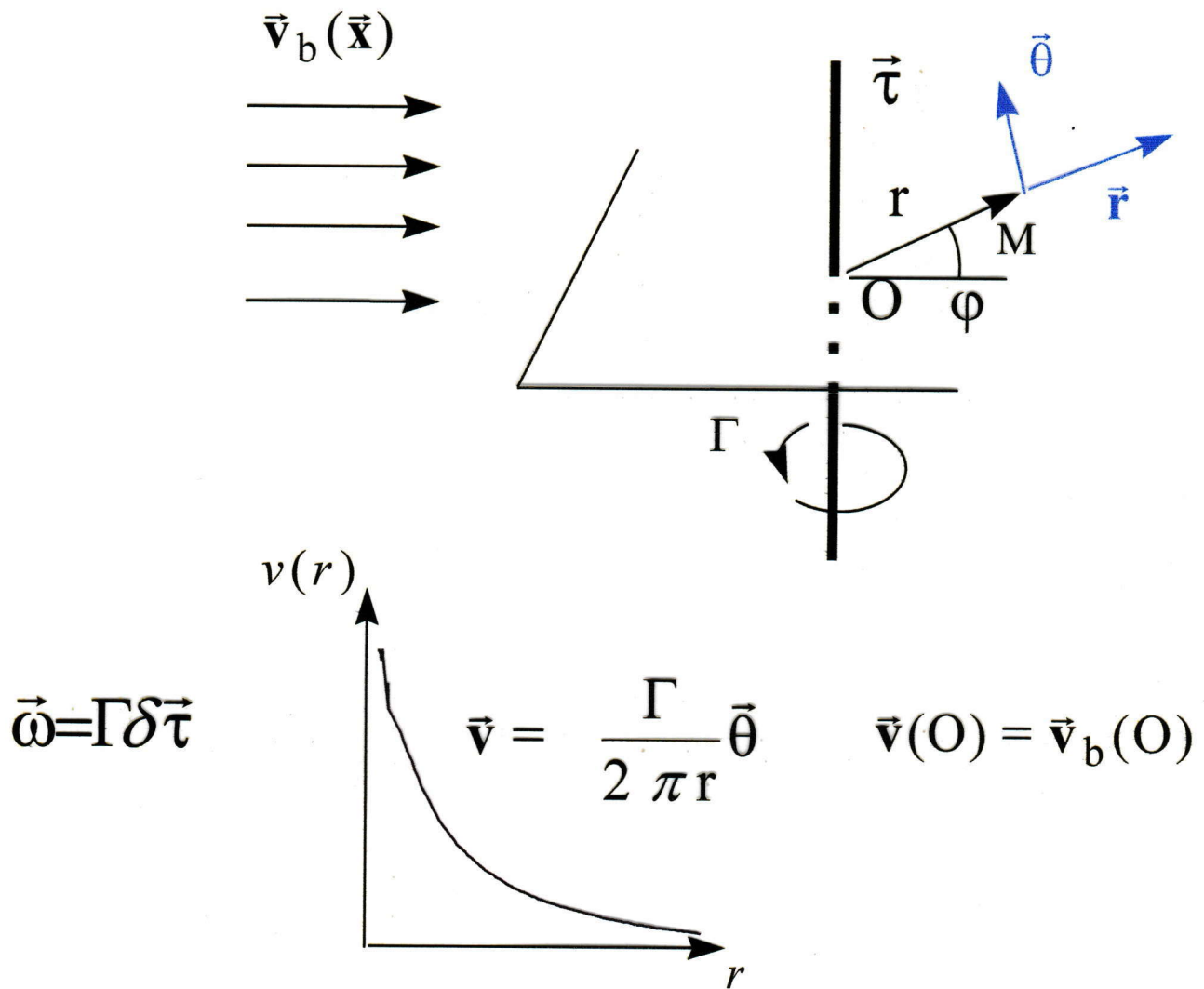
3) Justifier les méthodes de Coupure

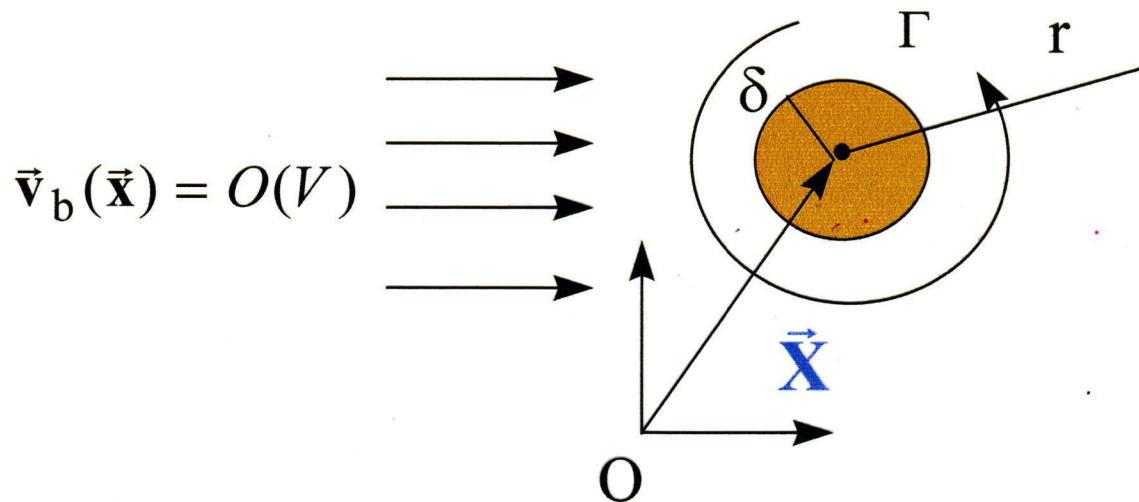
4) Oscillations de filaments droits

Conclusion et Perspectives

# 1 Equation d'évolution des filaments tourbillons

- Le filet tourbillon droit





Deux longueurs :

$$\delta = O(\delta_c) \quad \text{avec } \frac{\delta_c}{l_c} \equiv \varepsilon \ll 1$$

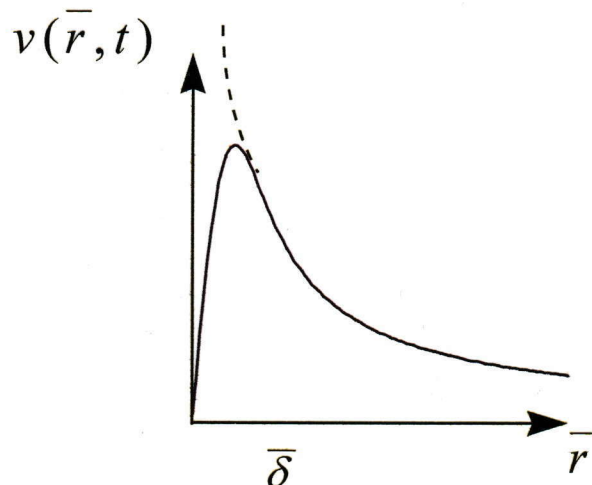
$$L = \Gamma / V = O(l_c)$$

$$Re = \frac{\Gamma}{V} = \frac{1}{\alpha^2 \varepsilon^2} \gg 1 \quad \alpha = O(1) \text{ ou } \alpha = 0$$

*variable extérieure :  $r$    variable intérieure :  $\bar{r} = r / \varepsilon$*

$$\vec{v} = \dot{\vec{X}} + \vec{V}$$

DAR : couche limite



$$\bar{\delta} = \delta / \varepsilon = \sqrt{4 \Gamma \alpha^2 t}$$

$$\dot{\vec{X}} = \vec{v}_b(\vec{X})$$

# Coordinates and geometry

Filament

$$\mathbf{X} = \mathbf{X}(s, t) \quad T : \text{torsion}$$

$$K : \text{curvature} \quad (\mathbf{t}, \mathbf{n}, \mathbf{b})$$

Local coordinates

$$\mathbf{M}(r, \varphi, s) \quad (\mathbf{e}_r, \mathbf{e}_\varphi, \mathbf{t})$$

$$\mathbf{x} = \mathbf{OM} = \mathbf{X}(s, t) + r\mathbf{e}_r(\varphi, s, t)$$

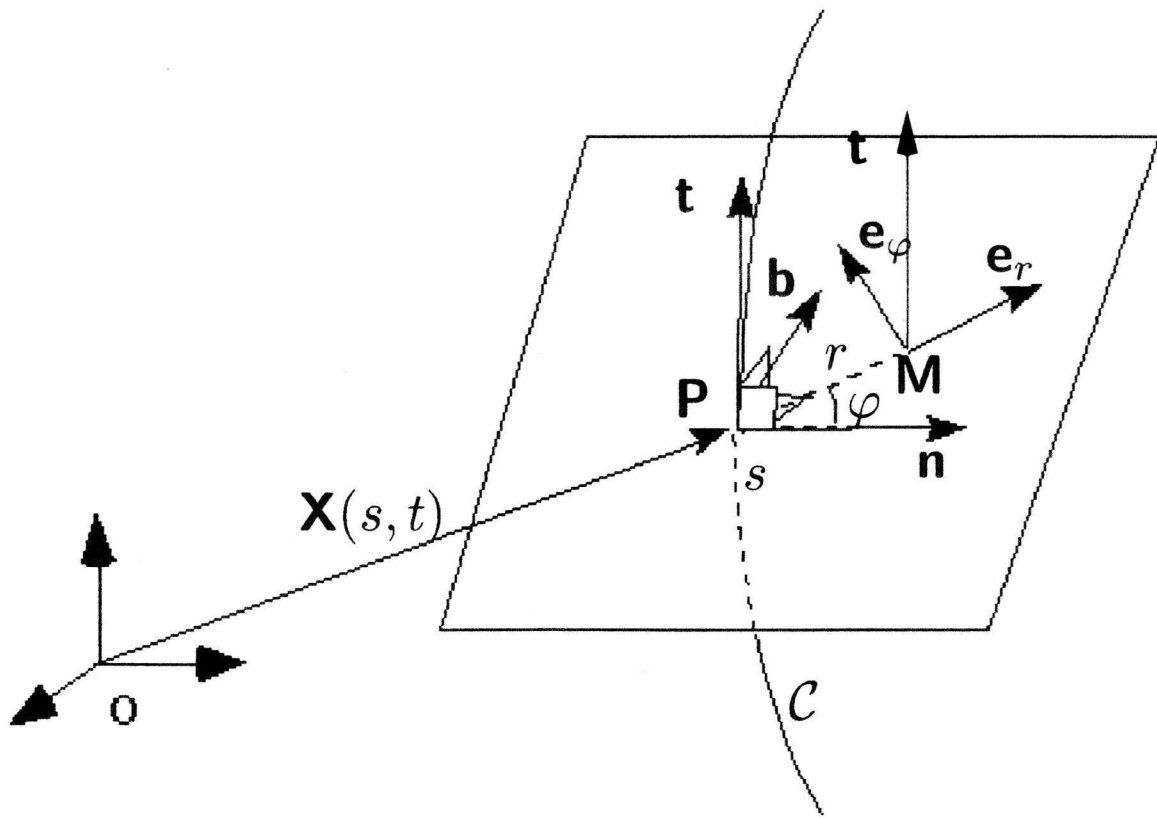
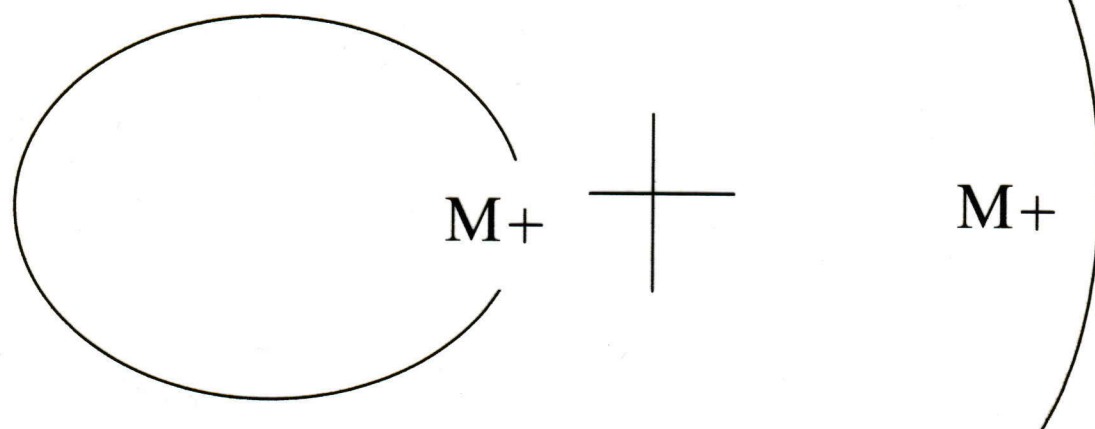


Figure 2: The central curve  $\mathcal{C}$  and the local co-ordinates of the scroll filament

## • Limite du champ de vitesse sur le filet tourbillon

$$\vec{v}(\vec{x}) = \frac{\Gamma}{4\pi} \int_C \frac{\vec{\tau}(s') \wedge (\vec{x} - \vec{X}(s'))}{|\vec{x} - \vec{X}(s')|^3} ds'$$

$\vec{x} = \vec{X}(s)$        $r=0 \Rightarrow$  Singularité en  $s' = s$



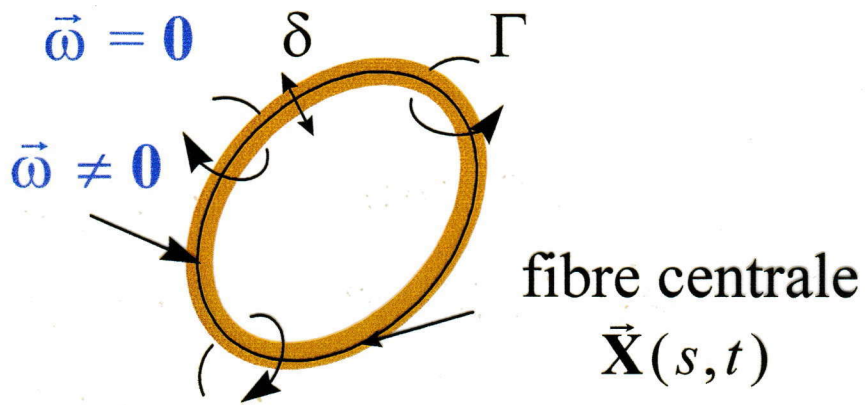
$r \rightarrow 0$  à  $s' - s$  fixé

$r \rightarrow 0$  à  $(s' - s) / r$  fixé

$$\vec{v}(r \rightarrow 0) = \frac{1}{2\pi r} \vec{\theta} + \frac{K}{4\pi} \left[ \ln \frac{S}{r} - 1 \right] \vec{b} + \frac{K}{4\pi} \cos(\varphi) \vec{\theta} + \vec{A} + O(r \ln r)$$

avec  $\vec{A} = \int_C \frac{\vec{\tau}(s') \wedge (\vec{X}(s) - \vec{X}(s'))}{|\vec{X}(s) - \vec{X}(s')|^3} - \frac{K(s) \vec{b}(s)}{|s' - s|} ds'$

## • Les échelles



Deux longueurs :

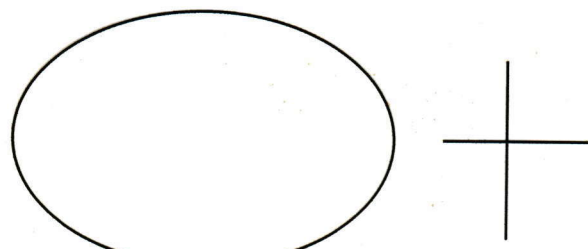
$$\begin{aligned}\delta &= O(\delta_c) \quad \text{avec } \frac{\delta_c}{l_c} \equiv \varepsilon \ll 1 \\ R, S, L &= O(1_c)\end{aligned}$$

$$Re = \frac{\Gamma}{\nu} = \frac{1}{\alpha^2 \varepsilon^2} \gg 1 \quad \alpha = O(1) \text{ ou } \alpha = 0$$

$$\vec{v} = \dot{\vec{X}} + \vec{V} \quad \vec{V} = u \vec{r} + v \vec{\theta} + w \vec{\tau}$$

$$\dot{\vec{X}} = ?$$

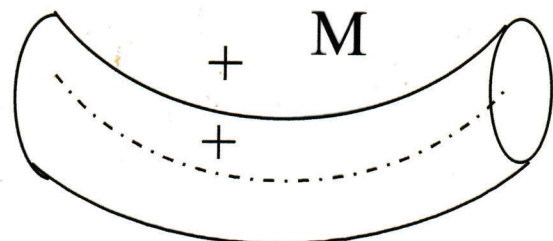
## • Limites extérieure et intérieure



problème extérieur

$\varepsilon \rightarrow 0$  à  $r$  fixé :

*limite extérieure*



problème intérieur

$\varepsilon \rightarrow 0$  à  $\bar{r} = r/\varepsilon$  fixé :

*limite intérieure*

- Développement extérieur :

$$\vec{v}^{out} = \vec{v}^{out(0)}(r, s, t) + \varepsilon \vec{v}^{out(1)}(r, \varphi, s, t) + \dots$$

- Développement intérieur :

$$\vec{V}^{inn} = \varepsilon^{-1} \vec{V}^{inn(0)}(\bar{r}, s, t) + \vec{V}^{inn(1)}(\bar{r}, \varphi, s, t) + \dots$$

- Développement fibre :

$$\dot{\vec{X}}(s, t, \varepsilon) = \vec{X}^{(0)}(s, t) + \varepsilon \vec{X}^{(1)}(s, t) + \dots$$

$$\dot{\vec{X}} = f(\vec{X}, \vec{V}^{inn}) \quad \vec{V}^{inn} = ?$$

- EDP :

$$\vec{\mathbf{V}}^{inn} = \varepsilon^{-1} \vec{\mathbf{V}}^{inn(0)}(\bar{r}, s, t) + \vec{\mathbf{V}}^{inn(1)}(\bar{r}, \varphi, s, t) + \dots$$

Les équations de Navier Stokes + Cons. Masse

$$\vec{\mathbf{V}}^{inn(i)}(\bar{r}, \varphi, s, t) \quad \vec{\mathbf{V}} = u\vec{\mathbf{r}} + v\vec{\theta} + w\vec{\tau}$$

Maple

- Conditions aux limites en  $\bar{r} = 0$

$$\vec{\mathbf{V}}^{inn(i)}(\bar{r} = 0, \varphi, s, t) = 0$$

- Conditions aux limites en  $\bar{r} = \infty$

$$\vec{\mathbf{V}}^{inn(i)}(\bar{r} \rightarrow \infty, \varphi, s, t) ?$$

La loi de raccord :

- $\vec{\mathbf{X}}_+ \vec{\mathbf{V}}^{inn}(\bar{r} \rightarrow \infty, \varphi, s, t) = \vec{\mathbf{v}}^{out}(r \rightarrow 0, \varphi, s, t)$

$$\vec{\mathbf{v}}^{out} = \vec{\mathbf{v}}^{out(0)}(r, s, t) + \varepsilon \vec{\mathbf{v}}^{out(1)}(r, \varphi, s, t) + \dots$$

$$r \rightarrow 0$$

$$r = \varepsilon \bar{r}$$

- Résolution des équations :

$$\vec{V}^{inn(i)}(\bar{r}, \varphi, s, t) \quad \vec{V} = u\vec{r} + v\vec{\theta} + w\vec{\tau}$$

Séries de Fourier :

$$v^{(i)}(\bar{r}, \varphi, s, t) = v_c^{(i)}(\bar{r}, s, t) + \sum_n \cos(n\varphi) v_{n1}^{(i)}(\bar{r}, s, t) + \sum_n \sin(n\varphi) v_{n2}^{(i)}(\bar{r}, s, t)$$

Partie axisymétrique  
 en  $\cos(n\varphi)$       | des Equations d'Ordre  $i$   
 en  $\sin(n\varphi)$

- Partie axisymétrique :

Ordre  $i=1 \Rightarrow$  Equations de compatibilité

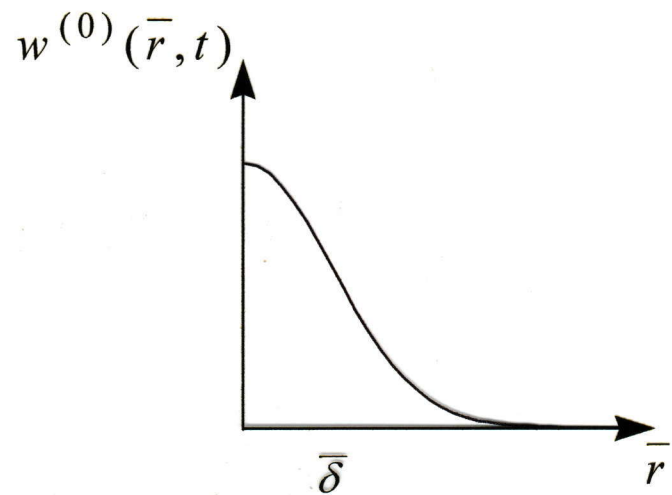
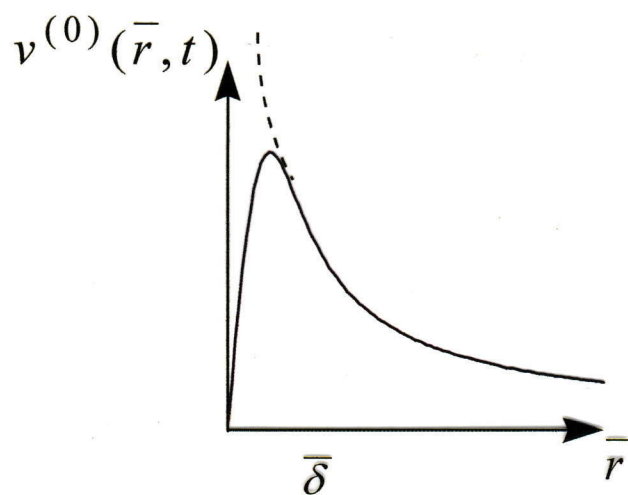
$$v_{,s}^{(0)} = w_{,s}^{(0)} = 0 \Rightarrow \text{satisfaites}$$

Ordre  $i=2 \Rightarrow$   $v^{(0)}$        $w^{(0)}$

## • Anneau similaire

$S(t)$  est la longueur de l'anneau

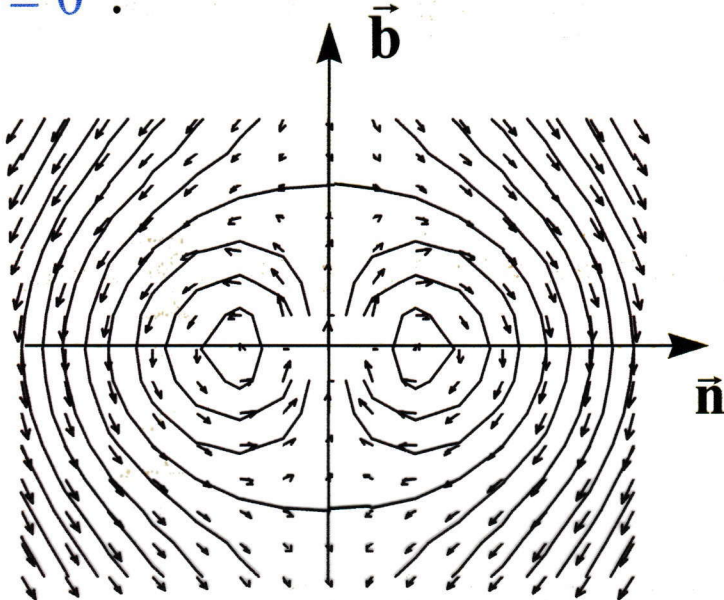
$$v^{(0)} = \frac{1}{2\pi\bar{r}} \left(1 - e^{-\left(\frac{\bar{r}}{\bar{\delta}}\right)^2}\right) \quad w^{(0)} = \frac{m_0}{\pi\bar{\delta}^2} \left(\frac{S_0}{S}\right)^2 e^{-\left(\frac{\bar{r}}{\bar{\delta}}\right)^2}$$



$$\bar{\delta}(t) = \left(\frac{S_0}{S}\right)^{1/2} \left( \bar{\delta}^2(t=0) + 4\alpha^2 \int_0^t \frac{S(t')}{S_0} dt' \right)^{1/2}$$

- Partie en  $\cos(\varphi)$  et  $\sin(\varphi)$  à l'ordre  $i=1$  :

CL en  $\bar{r} = 0$  :



CL en  $\bar{r} = \infty$  :  $\dot{\vec{X}}$

Limite  $\bar{r} \rightarrow \infty$  (Inté.Sing.) | Identification  $\Rightarrow$

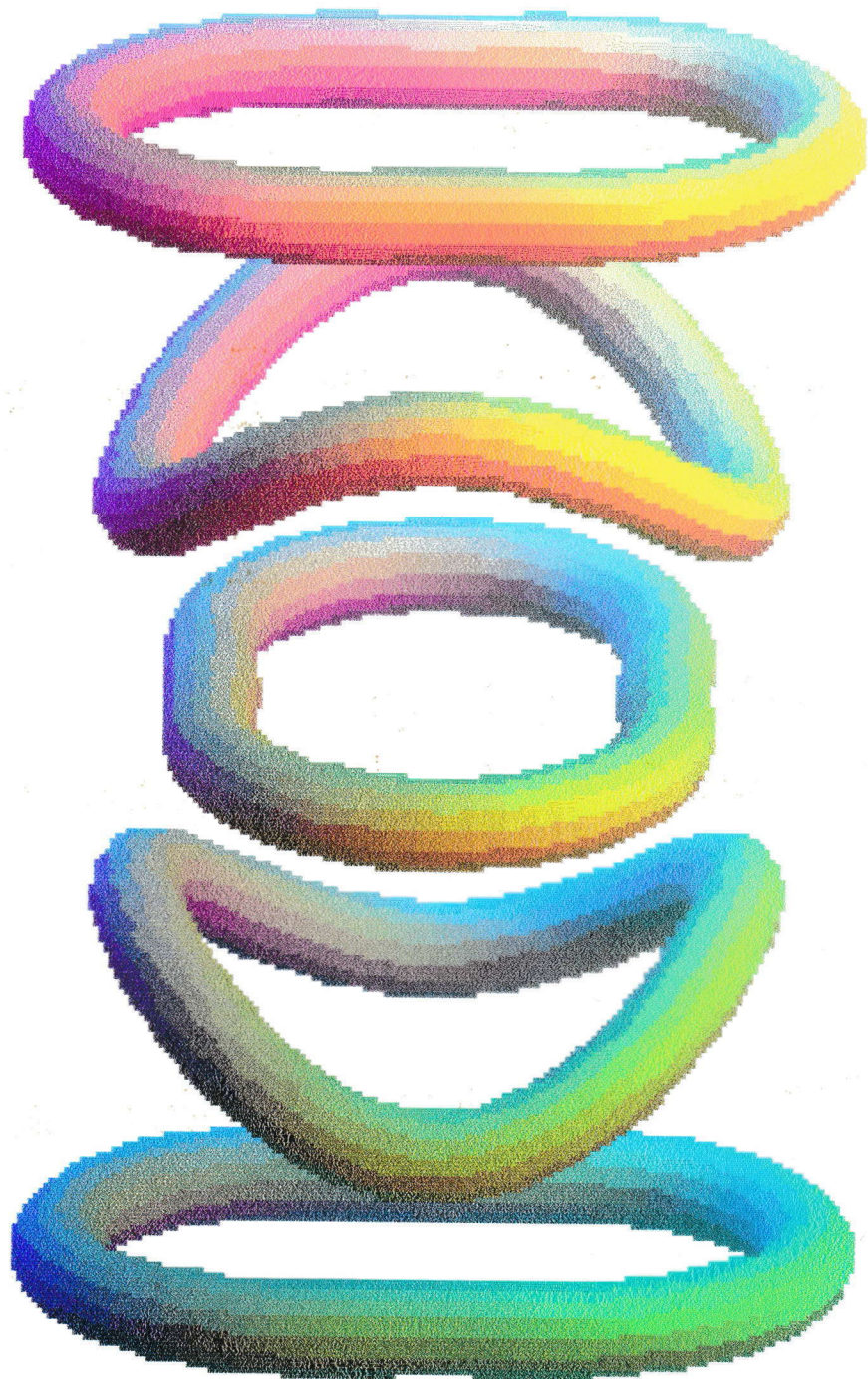
$$\bullet \dot{\vec{X}}^{(0)}(s, t) = \vec{Q}^* + \frac{\Gamma K^{(0)}(s, t)}{4\pi} [-\ln \varepsilon + C_v(t) + C_w(t)] \vec{b}^{(0)}$$

$$\vec{Q}^* = \vec{A} - (\vec{A} \bullet \vec{\tau}) \vec{\tau}$$

- Partie en  $\cos(n\varphi)$  et  $\sin(n\varphi)$  à l'ordre  $i=1$  :

CL en  $\bar{r} = 0$

CL en  $\bar{r} = \infty$



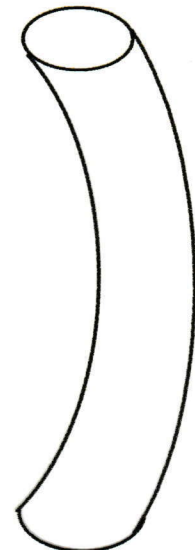
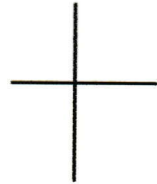
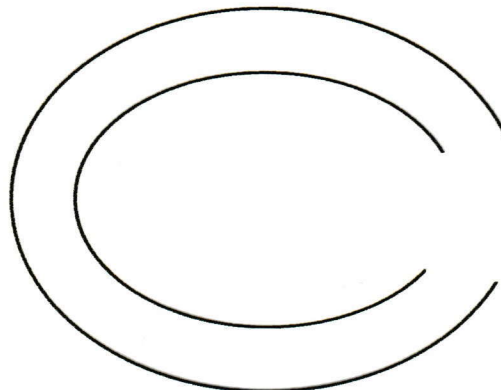
mode  $n=2$

## • Limite intérieure dans B&S

$$\vec{v}(\vec{x}, t, \varepsilon) = \frac{1}{4\pi} \iiint \frac{\vec{\omega}(\vec{x}', t, \varepsilon) \wedge (\vec{x} - \vec{x}')}{|\vec{x} - \vec{x}'|^3} dx'$$

$\varepsilon \rightarrow 0$  à  $\bar{r} = \frac{r}{\varepsilon}$  fixé

$\varepsilon = 0 \Rightarrow$  Singularité en  $s' = s$



$\varepsilon \rightarrow 0$  à  $s' - s$  fixé

$\varepsilon \rightarrow 0$  à  $(s' - s)/\varepsilon$  fixé

$$\vec{v}^{inn}(\bar{r}, \varphi, s, \varepsilon) = \frac{1}{\varepsilon} \iint_{\text{Section}} F \left( \vec{\omega}^{(0)}(\bar{r}', \varphi', s) \right) \bar{r}' d\bar{r}' d\varphi' \quad \text{B&S 2D}$$

$$+ \frac{K}{4\pi} \left[ \ln \frac{S}{\varepsilon} - 1 \right] \vec{b} + \vec{A}(s) + \iint_{\text{Section}} \widetilde{F} \left( \vec{\omega}^{(0)}(\bar{r}', \varphi', s) \right) \bar{r}' d\bar{r}' d\varphi'$$

$$+ O(\varepsilon \ln \varepsilon)$$

$$\bar{r} \rightarrow \infty \Rightarrow \vec{v}^{inn}(\bar{r} \rightarrow \infty, \varphi, s, \varepsilon) \text{ CL en } \infty$$

• Recherche d'un ordre Supérieur :

Maple              But : cohérence

-Partie axisymétrique :

Ordre  $i=2$        $\Rightarrow$        $v^{(0)}$        $w^{(0)}$   
 $\Rightarrow$  Equations de compatibilité

Hypothèses :  $v_c^{(1)}$  indépendant de  $s$

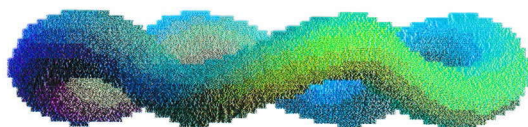
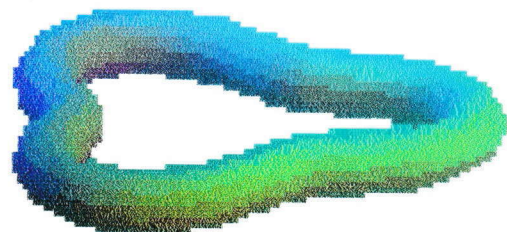
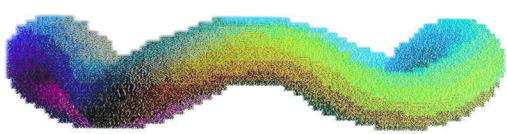
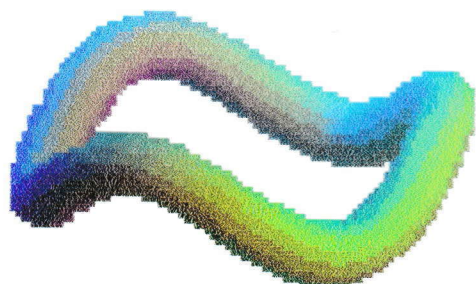
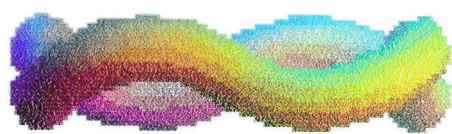
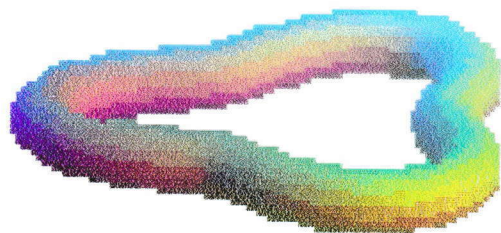
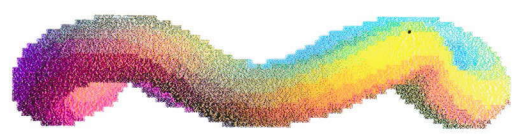
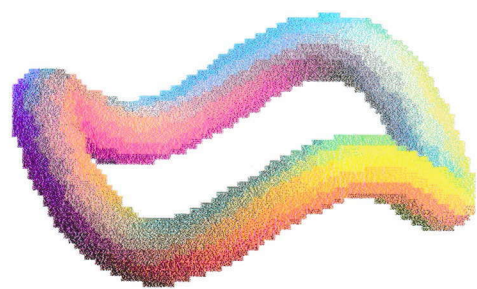
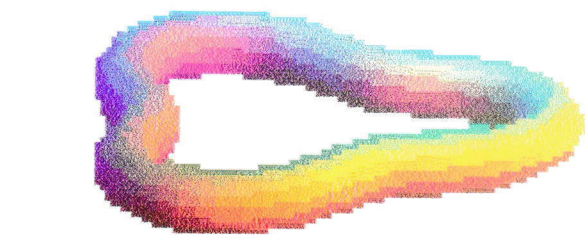
$$\frac{\partial w_c^{(1)}(\bar{r}, s, t)}{\partial s} = -\overset{\circ}{\sigma}^{(0)} + a(s)\sigma^{(0)}$$

avec  $a(s) = \overset{\circ}{S}^{(0)} / S^{(0)}$

Ordre  $i=3$        $\Rightarrow$        $v_c^{(1)}$        $w_c^{(1)}$

- Partie en  $\cos(\varphi)$  et  $\sin(\varphi)$  à l'ordre  $i=2$  :

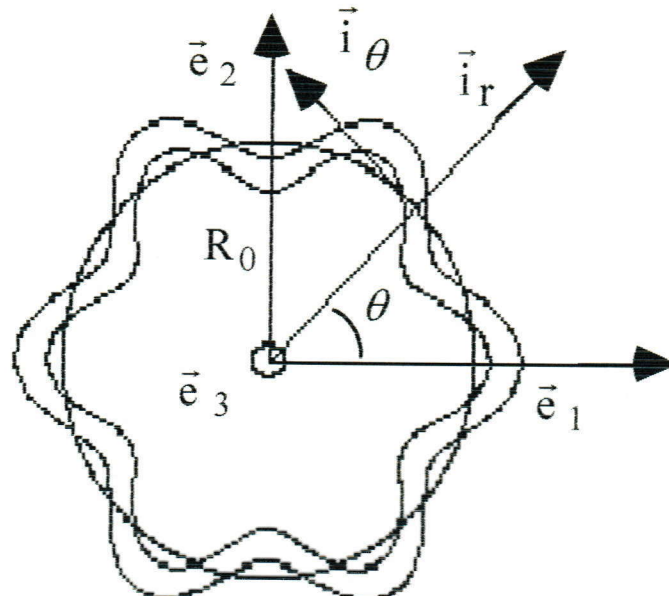
$$\Rightarrow \quad \dot{\vec{\mathbf{X}}}^{(1)} = f(\vec{\mathbf{X}}^{(1)}, \vec{\mathbf{V}}^{inn})$$



mode  $n=3$

mode  $n=4$

## 2 Oscillations d'un anneau circulaire perturbé



mode  $m$

- Etude linéaire d'un anneau circulaire :

Calcul de la Stabilité de l'anneau :

JJ.Thomson 1882- Widnall 73

Notre travail :

- Complément de l'étude de Widnall :  
partie stable oscillante
- Cas Visqueux et Vitesse axiale

- Période d'oscillation du mode  $n$  :

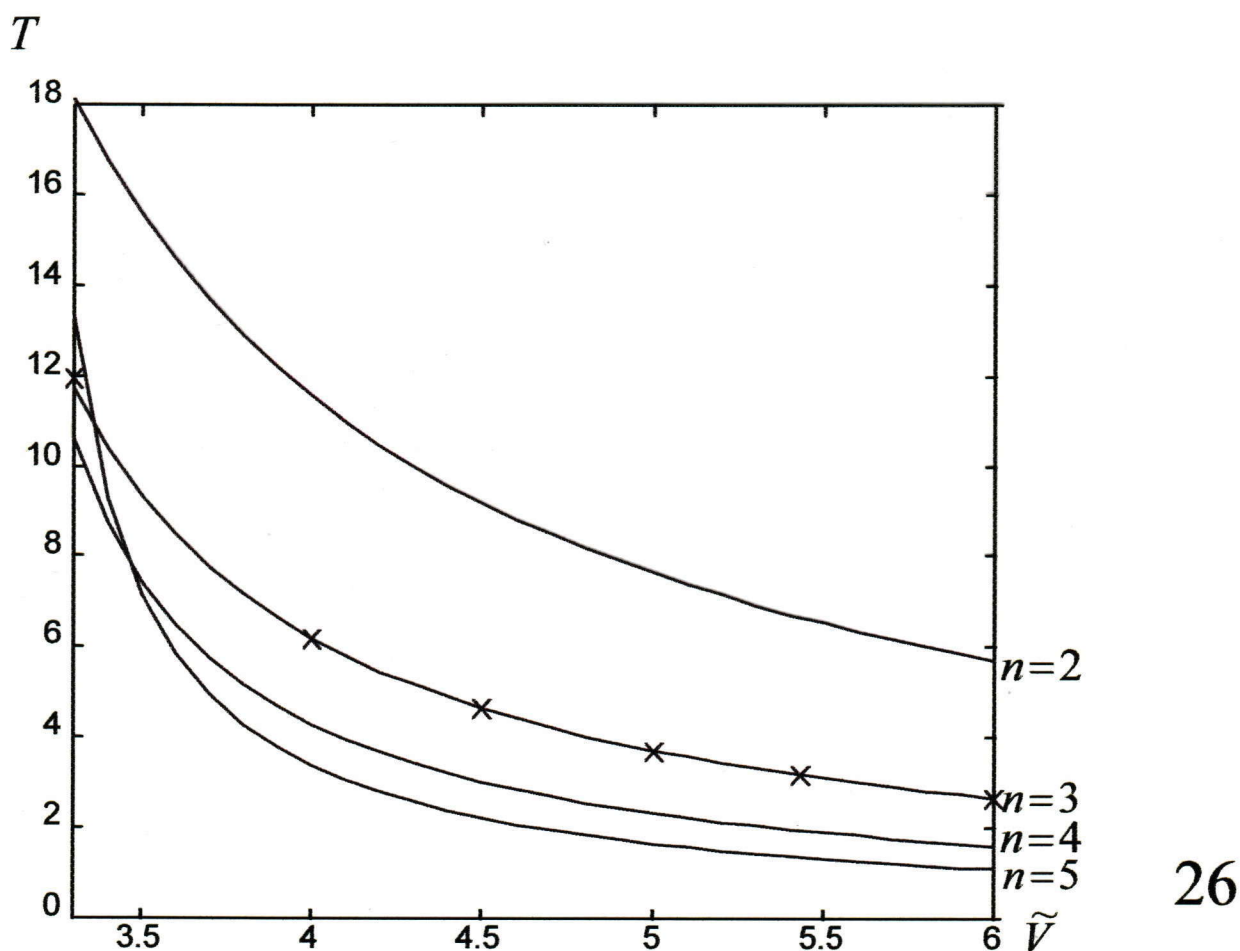
$$T = 8\pi^2 R_0^2 \sqrt{[n^2 \tilde{V} - g_\xi(n)] [n^2 - 1] \tilde{V} + g_\rho(n)}$$

$$\tilde{V} = \ln(8/\varepsilon) - 1/2 + A - 2m_0^2 \quad A = -0.058$$

$n$	2	3	4
$g_\xi(n)$	6.66	20.8	43.123
$g_\rho(n)$	-7	- 21.33	- 43.8

- Comparaison :

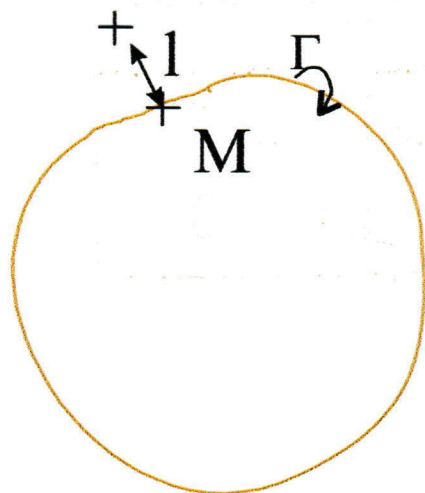
$n=2 \quad DSB$



# 3

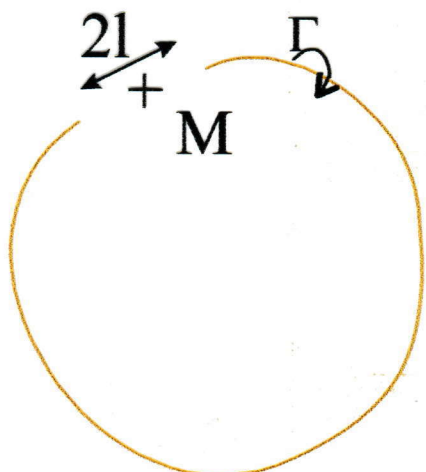
## Les méthodes de Coupure et leur justification

- JJ.Thomson 1883 :



$$\bullet \quad \vec{X} = \vec{v}_{\text{Dirac}}(l)$$

- Burger :



$$\bullet \quad \vec{X} = \frac{\Gamma}{4\pi} \int_l^{S-l} \frac{\vec{\tau}' \wedge (\vec{x} - \vec{x}')}{|\vec{x} - \vec{x}'|^3} ds'$$

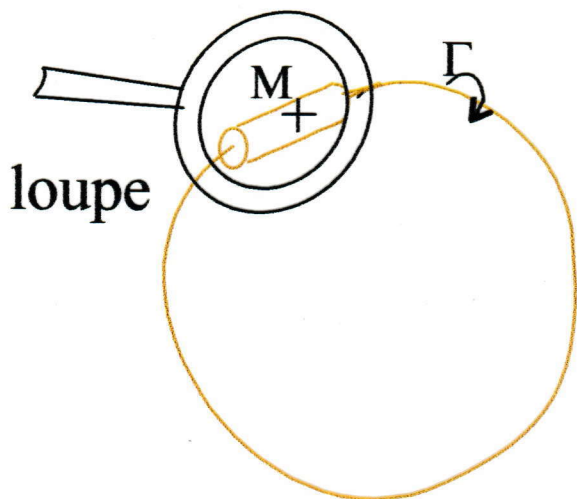
(JJ.Thomson 1883, Hama-Burger 62, Crow 70)

- Rosenhead :

$$\dot{\vec{X}} = \frac{\Gamma}{4\pi} \int_0^S \frac{\vec{\tau}' \wedge (\vec{x} - \vec{x}')}{((\vec{x} - \vec{x}')^2 + l^2)^{3/2}} ds'$$

(Levy 28, Rosenhead 30, Parks 70, Saffman 72-92)

- Autres :



$$\dot{\vec{X}} = \frac{\Gamma}{4\pi} \int_0^S \frac{\vec{\tau}' \wedge (\vec{x} - \vec{x}')}{|\vec{x} - \vec{x}'|^3} f\left(\frac{|\vec{x} - \vec{x}'|}{l}\right) ds'$$

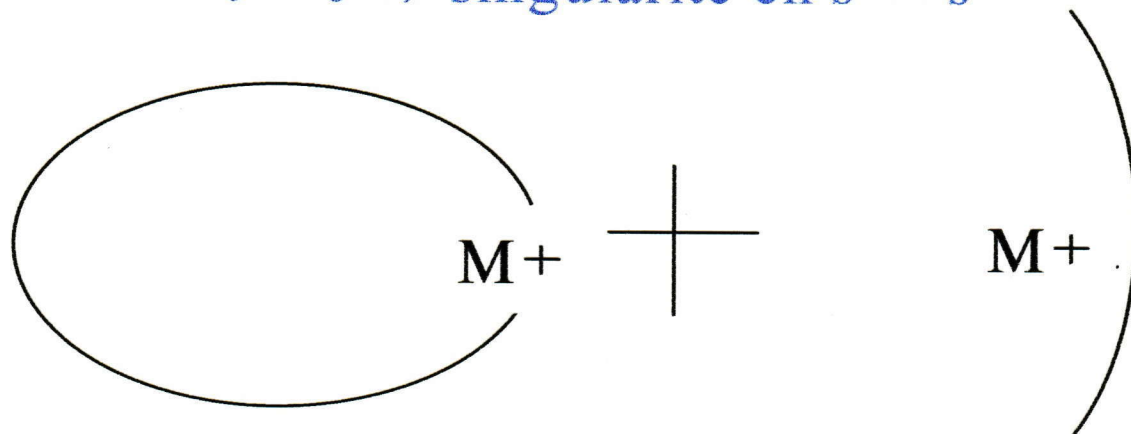
avec  $f(r) \longrightarrow 1$  quand  $r \longrightarrow \infty$

**CHOIX  $l=\varepsilon$**

**Bon choix ?**

## •Justification des méthodes de Coupure

$$l = 0 \Rightarrow \text{singularité en } s' = s$$



$l=0$  à  $s'$  fixé

$l=0$  à  $(s'-s)/l$  fixé

Identification : Cut-off  $\leftrightarrow$  Equation Asymp.

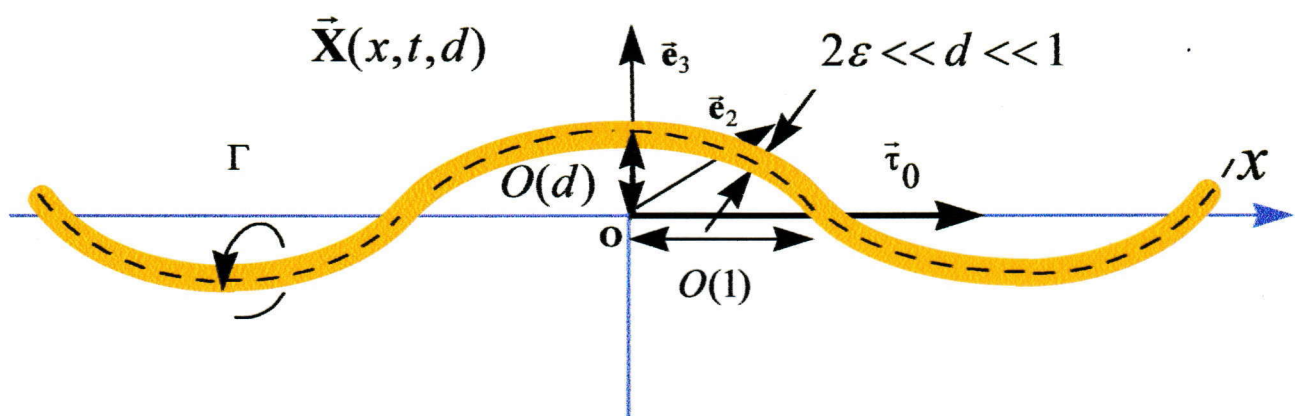
$$l = \varepsilon \exp(N - C_v(t) - C_w(t))$$

Nom de la méthode de cut-off	N
Burger	$1-\ln 2$
Thomson	$1/2$
Rosenhead	0
VEM1	0
VEM2	$1-0.009122-\ln 2$

$$l = s_c(s)\sigma(s)$$

## 4 Le filament droit

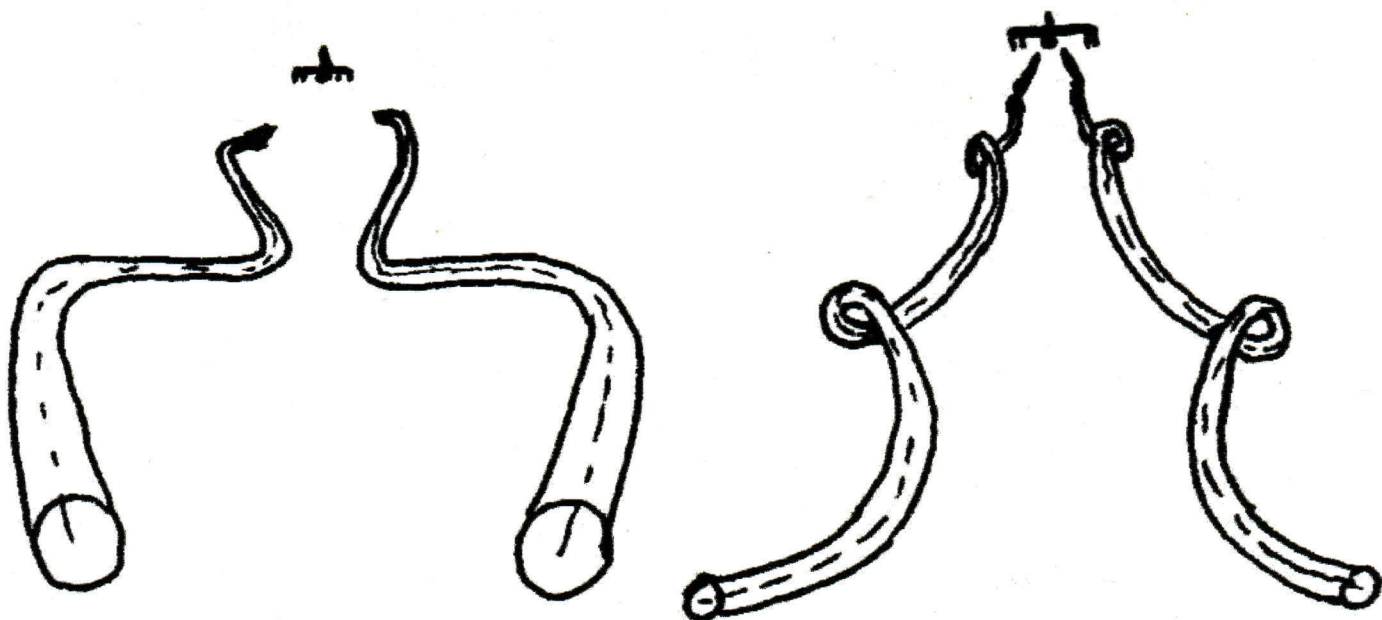
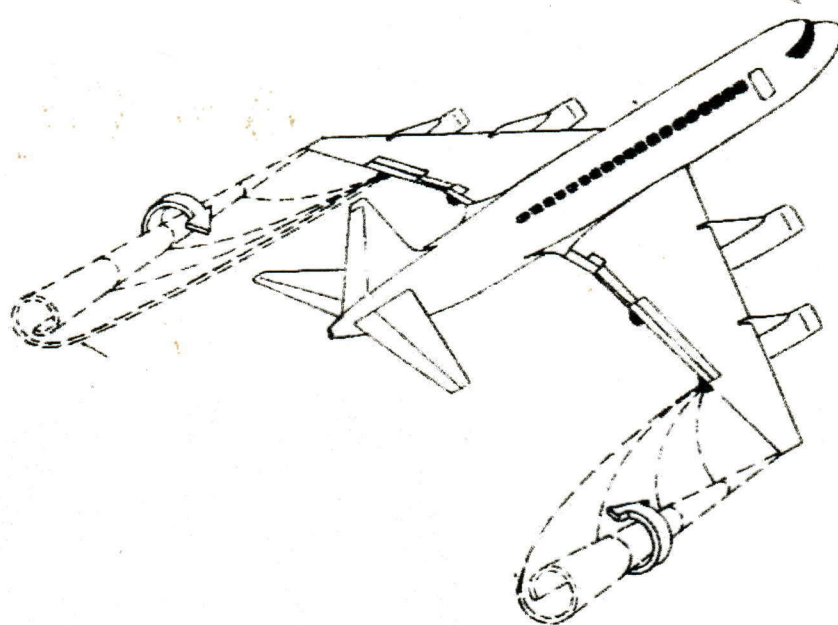
- Période d'oscillation d'un filament droit :

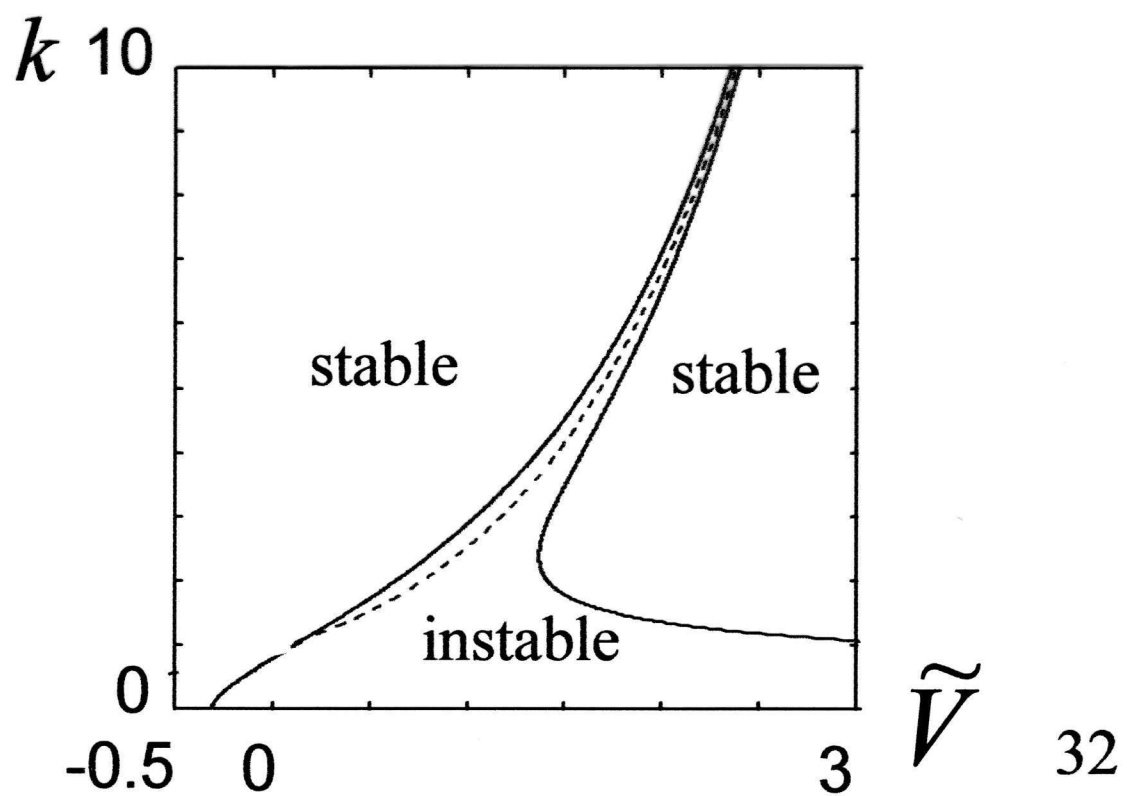
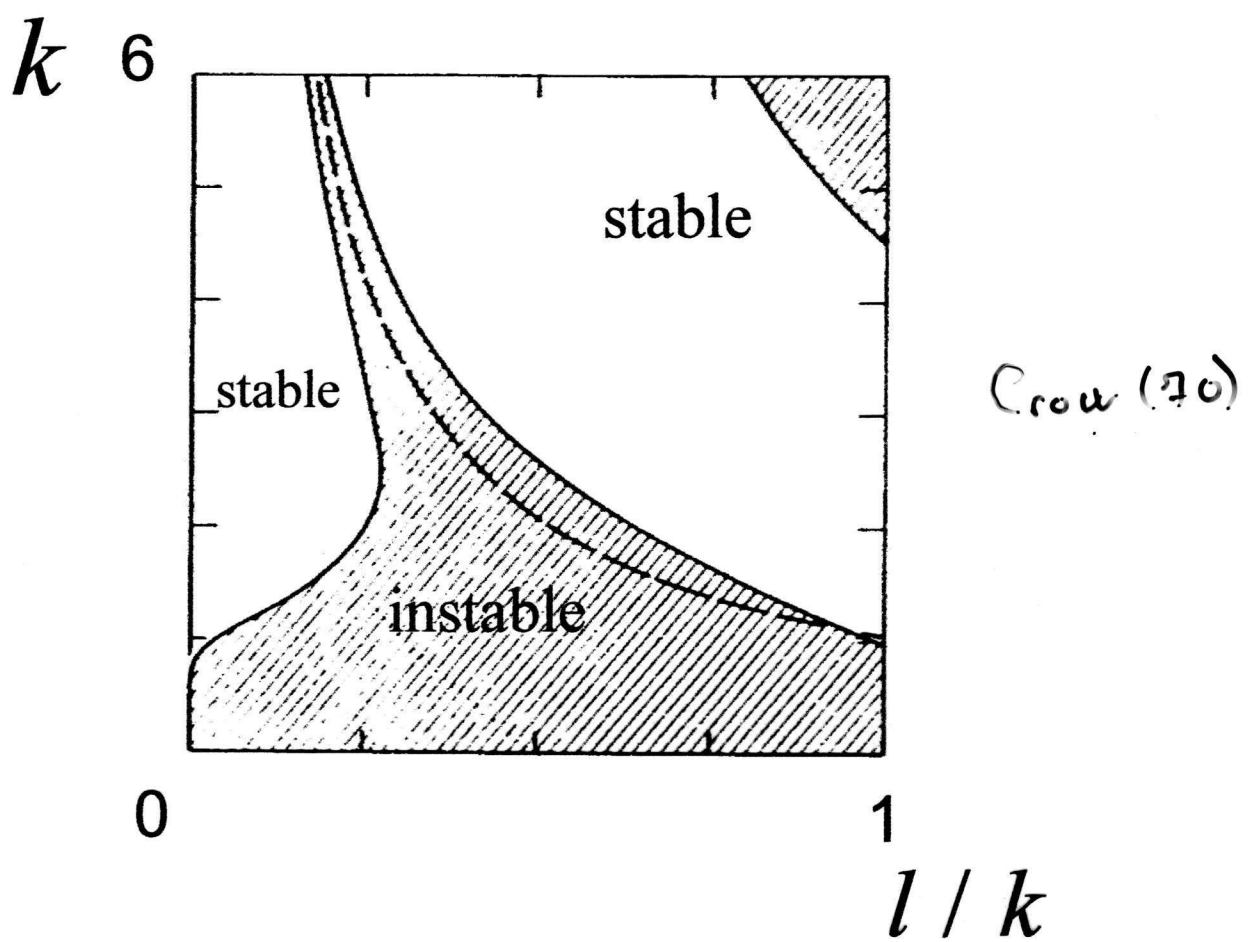


$$T = \frac{8\pi^2}{\left| k^2 \left( \tilde{V} + \frac{1}{2} - \gamma - \ln k \right) \right|}$$

$$\tilde{V} = A - 1/2 + \ln 2/\epsilon - 2m_0^2 \quad A = -0.058$$

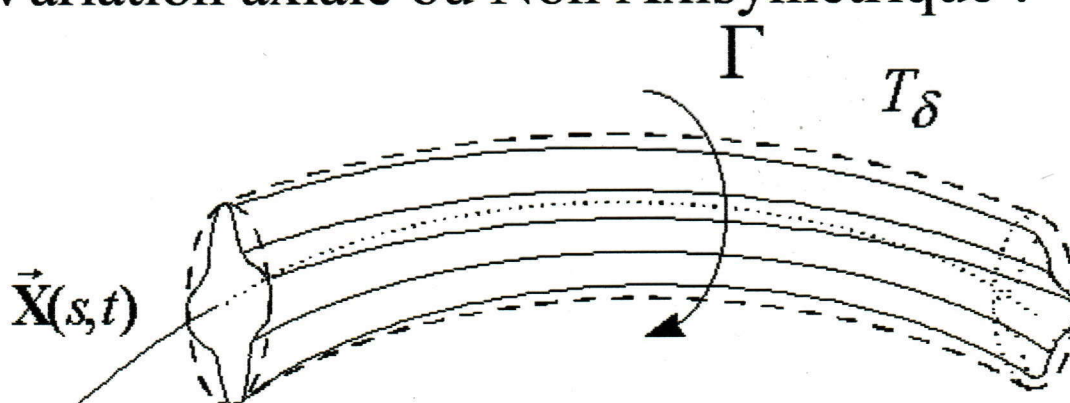
- Stabilité de deux filaments parallèles :





## Perspectives

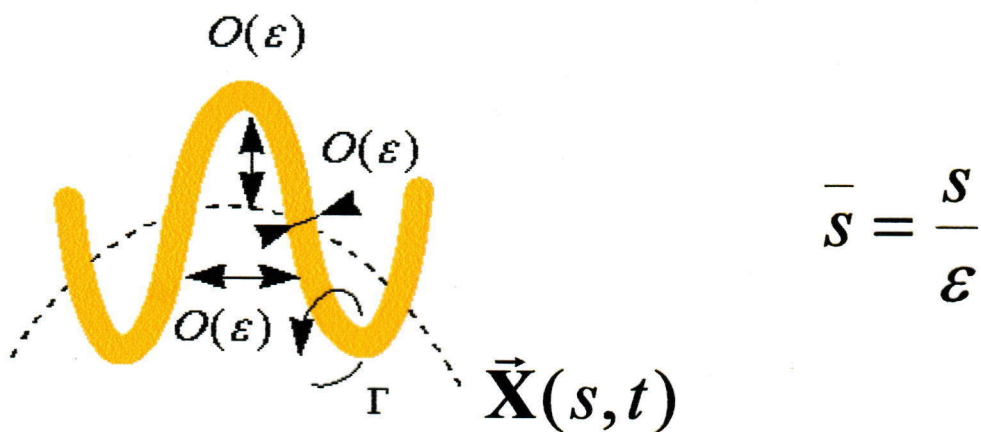
- Nous avons aussi traité :  
étirement , paramétrage fibre centrale,  
écoulement potentiel, termes ln, Klein et Majda  
 $\varphi$  et pas  $\theta$
- Ordres supérieurs  
anneau circulaire Fukumoto (1997)
- L'Helicité et son évolution :  
Moffatt (1969), Ricca (1992)
- Variation axiale ou Non Axisymétrique :



Lundgren (1989-1982)

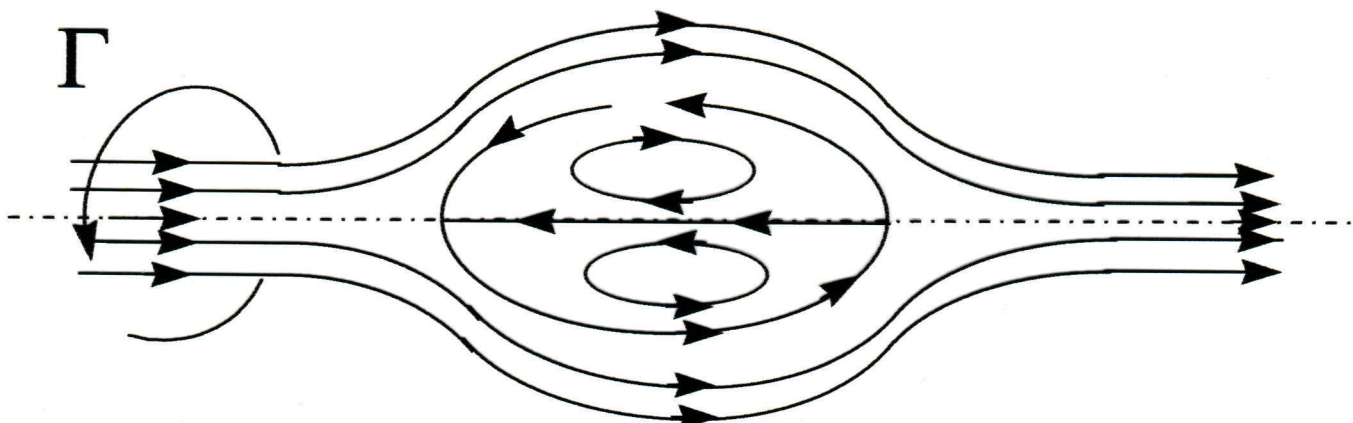
33

- CLI et Ondes courtes :



Tsai et Widnall (1977)

- Eclatement Tourbillonnaire :



Leibovich(1986), Sychev(1993), Schmitz(1996)

- Turbulence ....

Code Maple : déjà écrit

34

